

معادلات وضعية لتخمين معامل تناقض توزيع الماء في حالة تبادل موقع أنابيب الرش

احمد علي محمد العكيدی
a.alogaidi@uomosul.edu.iq

زياد أیوب سلیمان
z.alsinjari@yahoo.com

حقي إسماعيل ياسين
h.alhamo@uomosul.edu.iq

جامعة الموصل - كلية الهندسة - قسم هندسة السدود والموارد المائية

تاریخ القبول: 2/1/2021

تاریخ الاستلام: 13/10/2020

المُلْكُوكُ

من بين ممارسات التشغيل والإدارة التي يمكن ان تزيد من تناسق توزيع المياه في نظم الري بالررش المقنولة هو تبادل موقع انباب الرش بازاحتها نصف الفاصلية بين التبادل الاحدادي وبازاحتها نصف الفاصلية بين المرشات فيكون التبادل المزدوج. تم اعتامد بيانات تمثل 66 نمط توزيع الماء لمشرفة مفردة لرؤوس مرشات مختلفة النوع وباختيار العديد من الفواصل المناسبة بين المرشات تم اجراء التداخلات لكل نمط وبمساعدة برنامج Excel وذلك لايجاد نمط للتوزيع الحقلي لمياه الرش خالية من البقع الجافة وحساب معامل التناسق ومعامل التناسق الاحدادي ومعامل التناسق المزدوج وتتناسب التوزيع وتتناسب التوزيع المزدوج ومعاملات خاصة بالفواصل بين المرشات ثم باستخدام طريقة الانحدار лахати على البرنامج الاحصائي (special program for Statistical System)، تم استباط علاقات تحريرية لتخمين كل من معامل التناسق الاحدادي والمزدوج وتتناسب التوزيع المزدوج والاحادى وبمعاملات تحديد 0.783 و 0.720 و 0.766 و 0.810 على التوالي. وتم تحديد معاملات الفواصل التي تؤدي الى اقصى القيم لمعاملات التناسق الاحدادي والمزدوج وتتناسب التوزيع المزدوج والاحادى طبقا للمعادلات المستتبطة. اضافة الى اختبار دقة النوال السابقة والمستخدمة في تخمين معامل التناسق الاحدادي والمزدوج بمعاملات تحديد 0.608 و 0.539 على التوالي وفي تخمين تناسق التوزيع المزدوج والاحادى بمعاملات تحديد 0.584 و 0.491 على التوالي حيث بين الاختبار نقطها المنتهية.

الكلمات الدالة:

معامل التناقض؛ أنبوب الرش؛ معادلات تجريبية

https://rengj.mosuljournals.com
Email: alrafidain_engjournal@umosul.edu.iq

المقدمة .1

من بين ممارسات التشغيل والادارة التي يمكن ان تزيد من تناسق توزيع المياه في نظم الري بالرش المنقوله هو تبادل موقع انباب الرش حيث التبادل الاحادي Single alternate set ينتج باز احثها بمقدار نصف الفاصلة بين انباب الرش وذلك بين رية واخرى اي ان نمط التوزيع الحقلوي في هذه الحالة ناتج من ربتين متsequientes. والتبادل المزدوج Double alternate set ينتج اضافة الى تبادل في موقع انباب الرش هنالك تبادل في موقع المرشات من خلال ازاحة موقع المرشات بقدر نصف فاصلة بين المرشات على امتداد انبوب الرش اي ان نمط التوزيع الحقلوي في هذه الحاله ناتج من أربع ربمات متsequentes. ان معامل التناسب للتبدال الاحادي UCS (Uniformity Coefficient of Single alternate set) لحقل ذو فاصلة بين انباب الرش مقدارها L وفاصلة بين المرشات على امتداد انبوب الرش مقدارها S وهذا يطابق معامل التناسب UC (Uniformity Coefficient) لحقل ذو فوافصل مقدارها $[S^*0.5L]$ ، وان معامل التناسب للتبدال المزدوج UCD (Uniformity Coefficient of Double alternate set) للفوافصل $[S*L]$ يطابق معامل التناسب UC لحقل ذو فوافصل مقدارها $[0.5S*0.5L]$ [١]، ان [١]:

التوزيع المزدوج اضافة الى معاملات تعتمد على الفوائل بين المرشات. اعتمادا على 564 قيمة لكل من معامل التنساق ومعامل التنساق الاحادي ومعامل التنساق المزدوج والمعاملات SS و SR و SR^{0.5} تم ايجاد المعادلات بالصيغة الآتية:

$$\begin{aligned} \text{UCS} = & (11.11 \text{ UC} - 33.25 \text{ UC}^2 + 35.74 \text{ UC}^3 - 13.9 \\ & \text{UC}^4 + 0.33 \text{ SR}^{0.5}) (-24.5 \text{ SS}^{0.5} + 86.15 \text{ SS} - 124.23 \\ & \text{SS}^{1.5} + 63.12 \text{ SS}^2 - 0.08 \text{ SR}^5 + 2.68) + 0.99 \text{ UC} \\ & [\text{R}^2=0.783] (9) \end{aligned}$$

$$\begin{aligned} \text{UCD} = & (40.49 \text{ UCS} - 143.93 \text{ UCS}^2 + 167.20 \text{ UCS}^3 \\ & - 63.91 \text{ UCS}^4 + 0.129 \text{ SR}^{0.15}) (-110.26 \text{ SS}^{0.5} + \\ & 390.81 \text{ SS} - 581.43 \text{ SS}^{1.5} + 308.61 \text{ SS}^2 - 1.46 \text{ SR}^{0.5} \\ & + 12.19) + \text{UCS}^{0.5} ... [\text{R}^2=0.810] ... (10) \end{aligned}$$

وب الواقع 442 قيمة لكل من تنساق التوزيع وتنساق التوزيع الاحادي والمعاملات SS و SR تم ايجاد المعادلة بالصيغة الآتية:

$$\begin{aligned} \text{DUS} = & (7.56 \text{ DU} - 27.22 \text{ DU}^2 + 32.3 \text{ DU}^3 - 12.93 \\ & \text{DU}^4 + 0.25 \text{ SR}^{0.5}) (-27.12 \text{ SS}^{0.5} + 73.88 \text{ SS} - \\ & 67.1 \text{ SS}^{1.5} + 9.84 \text{ SS}^2 - 3.19 \text{ SR}^5 \text{ SS} + 3.33) + \\ & 1.01 \text{ DU}^{0.5} [\text{R}^2=0.72] (11) \end{aligned}$$

وب الواقع 270 قيمة لكل من تنساق التوزيع وتنساق التوزيع الاحادي وتنساق التوزيع المزدوج والمعاملات SS و SR تم ايجاد المعادلة بالصيغة الآتية:

$$\begin{aligned} \text{DUD} = & (-4.35 \text{ DUS} + 11.56 \text{ DUS}^2 - 10.5 \text{ DUS}^3 + \\ & 3.4 \text{ DUS}^4 + 0.96 \text{ SR}^{0.5} - 0.7 \text{ DUS}^{0.5} \text{ SR}) (18.17 \text{ SS}^{0.5} \\ & - 48.19 \text{ SS} + 41.58 \text{ SS}^{1.5} + 0.49 \text{ SR}^5 - 0.49 + \\ & 0.504 \text{ DUS}^{-4}) [\text{R}^2=0.766] (12) \end{aligned}$$

ويوضح الشكلان (1) و (2) المقارنة بين القيم المحسوبة من نمط التوزيع الحقلي والمخمنة من المعادلات 9-12 وذلك لكل من معامل التنساق الاحادي ومعامل التنساق المزدوج وتنساق التوزيع الاحادي وتنساق التوزيع الثنائي مع ذكر قيم معامل التحديد R². أ. من الشكل (1) تضمن المقارنة بين قيم معامل التنساق الاحادي المحسوبة من أنماط التوزيع الحقلي UCSa و معامل التنساق الاحادي المخمنة من المعادلة (9) UCSp وذلك باعتماد على معامل التنساق UC. بـ من الشكل (1) تضمن المقارنة بين قيم معامل التنساق المزدوج المحسوبة من أنماط التوزيع الحقلي UCDa و معامل التنساق المزدوج المخمنة من المعادلة (10) UCDp وذلك باعتماد على معامل التنساق الاحادي المحسوب من أنماط التوزيع الحقلي. وـ جـ من الشكل (1) تضمن المقارنة بين قيم معامل التنساق المزدوج المحسوبة من أنماط التوزيع الحقلي UCDa و معامل التنساق المزدوج المخمنة من المعادلتين (9) و (10) UCDpp وذلك باعتماد على معامل التنساق UC. كذلك أـ من الشكل (2) تضمن المقارنة بين قيم تنساق التوزيع الاحادي DUSA و تنساق التوزيع الاحادي المحسوبة من المعادلة (11) DUSp وذلك باعتماد على تنساق التوزيع DU. وـ بـ من الشكل (2) تضمن المقارنة بين قيم تنساق التوزيع المزدوج المحسوبة من أنماط التوزيع الحقلي DUDA و تنساق التوزيع المزدوج المخمنة من المعادلة (12) DUDp وذلك باعتماد على تنساق التوزيع الاحادي المحسوب من أنماط التوزيع الحقلي. وـ جـ من الشكل (2) تضمن المقارنة بين قيم تنساق التوزيع المزدوج المحسوبة من أنماط التوزيع الحقلي DUDA و تنساق التوزيع

الرش المتحركة خطياً لضغطوط مختلفة للمرشات. وعليه فان الهدف من البحث الحالي هو ايجاد علاقات تجريبية لتتخمين كل من معامل التنساق الاحادي والمزدوج وتنساق التوزيع الاحادي والمزدوج اضافة الى تقييم الدول المستخدمة لهذا الغرض.

2. مواد وطرق البحث

1.2. البيانات والمعادلات المستخدمة

تم اعتماد بيانات تمثل 66 نمط توزيع الماء لمرشة مفردة من الباحثين [10, 11, 12] لرؤوس مرشات مختلفة النوع. وباختيار العديد من الفوائل المناسبة بين المرشات، تم اجراء التداخلات لكل نمط وبمساعدة برنامج الـ Excel وذلك لإيجاد 564 نمط للتوزيع الحقلي لمياه الرش خالية من القع الجافة للفوائل [S*L]. ثم حساب معامل تنساق كرستنسن UC من المعادلة الآتية:

$$UC = 1 - \frac{\sum_{i=1}^N |X_i - \bar{X}|}{\sum_{i=1}^N X_i} (6)$$

حيث ان UC معامل التنساق (كسر عشرى) و X_i أعماق الماء، و \bar{X} معدلها، و N عدد مواقع أعماق الماء. ثم ايجاد 564 نمط للتوزيع الحقلي لمياه الرش للفوائل [S*0.5L] وحساب معامل تنساق للتبدل الاحادي UCS. وابعاد 564 نمط للتوزيع الحقلي لمياه الرش للفوائل [0.5S*0.5L] وحساب معامل تنساق للتبدل المزدوج UCD. وقد تم حساب تنساق التوزيع DU من المعادلة الآتية:

$$DU = \frac{\bar{X}_{LQ}}{\bar{X}} (7)$$

حيث \bar{X}_{LQ} معدل الرابع الأدنى لأعماق الماء، لـ 442 من انماط التوزيع الحقلي الخاصة بالفوائل [S*L]. وحساب تنساق التوزيع للتبادل الاحادي DUS وذلك لـ 442 من انماط التوزيع الحقلي الخاصة بالفوائل [S*0.5L]. وحساب تنساق التوزيع للتبادل المزدوج Single alternate set (DUD) وذلك لـ 270 من انماط التوزيع الحقلي الخاصة بالفوائل [0.5S*0.5L].

2. استنباط المعادلات الوضعية
لتتخمين معاملات التنساق الاحادي والمزدوج وتنساق التوزيع الاحادي والمزدوج تم ايجاد المعاملات SS و SR والذان يعتمدان على الفاصلة بين انباب الرش L و الفاصلة بين المرشات على امتداد انبوب الرش S وذلك:

$$SR = S/L (8a)$$

$$SS = L^{0.5}/S^{1.5} = 1/(SR^{0.5}S) (8b)$$

وباستخدام طريقة الانحدار лахطي في البرنامج الاحصائى SPSS واعتماد القيم المستحصلة من حسابات معاملات التنساق تم اقتراح معادلات لتتخمين معامل التنساق الاحادي والمزدوج وتنساق التوزيع الاحادي والمزدوج.

يعرض الجدول (1) في الملحق (أ) قيم معامل التنساق ومعامل التنساق الاحادي ومعامل التنساق المزدوج اضافة الى معاملات تعتمد على الفوائل بين المرشات. ويعرض الجدول (2) في الملحق (ب) قيم تنساق التوزيع وتنساق التوزيع الاحادي وتناسق

- التوالي وتناسق التوزيع الاحادي والمزدوج وبمعاملات تحديد 0.720 و 0.766 .
- تم تقييم الدوال السابقة والمستخدمة في تخمين معامل التناسق الاحادي والمزدوج فكانت معاملات التحديد 0.608 و 0.539 على التوالي ولتناسق التوزيع الاحادي والمزدوج كانت معاملات التحديد 0.584 و 0.491 على التوالي حيث دقتهما من مقارنة دقة العلاقات التجريبية المستبطة مع الدوال السابقة ان هنالك زيادة في معامل التحديد للعلاقات التجريبية المستبطة عن الدوال السابقة مقداره 29% و 50% و 23% و 56% في تخمين كل من معامل التناسق الاحادي ومعامل التناسق المزدوج وتناسق التوزيع الاحادي وتناسق التوزيع المزدوج على التوالي.
 - تم تحديد معاملات الفواصل التي تؤدي الى اقصى القيم لمعاملات التناسق الاحادي والمزدوج وتناسق التوزيع المزدوج والاحادي طبقاً للمعادلات المستبطة.

5. المصادر

- [1]. A.Y Hachum, H.I.Yasin, "On-farm Irrigation Systems Engineering", Dar Al Kuttb for Printing and Publishing, Mosul University, Mosul,Iraq 1992.
- [2]. Ames (WR) Company. "Irrigation Division, and Allan Walter McCulloch". Ames Irrigation Handbook for Irrigation Engineers, 1967.
- [3]. J.Keller, and R.D.Bliesner, "Sprinkle and Trickle Irrigation", AVI Book, Van Nostrand Reinhold, New York1990.
- [4]. G. P.Merkley and R.G. Allen. Sprinkler and trickle irrigation lectures. [..cd3wd.com/CD3WD_40/OCW/IRRIG_SPR_TRI CK/ecfile200501048603507665](http://cd3wd.com/CD3WD_40/OCW/IRRIG_SPR_TRI CK/ecfile200501048603507665), 2004.
- [5]. J. H.Glenn , R.G. Evans, M. E. Jensen, D.L. Martin, R. L. Elliott, "Design and Operation of Farm Irrigation Systems". Amer Society of Agricultural, 2007.
- [6] M.A.El-Wahed, A.E.Sabagh, H.Saneoka, A.Abdelkhalek, and C.Barutçular, "Sprinkler irrigation uniformity and crop water productivity of barley in arid region". Emirates Journal of Food and Agriculture, pp.770-775,2015.
- [7] L.Zhang, G.P.Merkley, P.Wu, and D.Zhu, "Effect of Catch-Can Spacing on Calculation of Sprinkler Irrigation Application Uniformity". *CLEAN–Soil, Air, Water*, 46(7), p.1800130, 2018.
- [8] E.D.Araújo, D.L.Santos, F.C.Alvino, L.B.Ferreira, and F.F.D.Cunha, "Predictive Models of Water Application and Distribution Efficiency in Conventional Sprinkling". Engenharia Agrícola, 40(1), pp.24-33, 2020, 2020.
- [9] J.Liu, X.Zhu, S.Yuan, and A.Fordjour, "Modeling the application depth and water distribution uniformity of a linearly moved irrigation system". Water, 11(4), p.827,2019.

المزدوج المخمنة من المعادلتين (11) و (12) DUDpp وذلك بالاعتماد على تناسق التوزيع DU .

3. النتائج والمناقشة

ولغرض تقييم المعادلات السابقة يمكن اجراء توافق اجباري لكل من المعادلة 3 والمعادلة 4 مع البيانات التي تم حسابها لمعاملات التنساق وهذا ينتج عنه معامل التحديد 0.608 و 0.539 على التوالي اي ان دقة وصحة هذه المعادلات منخفضة وهذا يتطرق مع [13]، كما تم اجراء توافق اجباري عند تطبيق المعادلتين 3 و 4 مع اعتماداً على معامل التناسق اي بصيغة $UCD=UC^{0.25}$ وتنتج معامل التحديد 0.527 .

وفي نفس الوقت يتبيّن اهمية المعادلات 9 و 10 ذات معامل تحديد اكبر بكثير نسبياً مقارنة مع المعادلات 3 و 4 سواء عند تطبيق كل من المعادلة 9 لايجاد معامل التناسق الاحادي اعتماداً على معامل التنساق والمعادلة 10 لايجاد معامل التناسق المزدوج اعتماداً على معامل التناسق الاحادي او في حالة تطبيق المعادلتين لايجاد معامل التناسق المزدوج اعتماداً على معامل التنساق فقط. وعند اجراء توافق اجباري لكل من المعادلة 5 وصيغة مناظرة للمعادلة 4 ولكن لتناسق التوزيع المزدوج اي بصيغة $DUD=DUS^{0.5}$ مع البيانات التي تم حسابها لتناسق التوزيع فان معامل التحديد 0.491 و 0.584 على التوالي اي ان دقة وصحة هذه المعادلات منخفضة، كما تم اجراء توافق اجباري عند تطبيق الصيغة $DUD=DU^{0.25}$ لايجاد تناسق التوزيع المزدوج اعتماداً على تناسق التوزيع فقط فان معامل التحديد 0.645 . ويعكس هذا اهمية المعادلات 11 و 12 وحتى في حالة تطبيق المعادلتين لايجاد معامل التناسق المزدوج اعتماداً على معامل التنساق فقط.

اما فيما يخص الفواصل المناسبة فإن التغيير عن معامل التنساق او تناسق التوزيع بدالة حالة معقدة لاختلاف المرشات واداؤها والعدد من العوامل التي تؤثر في نمط توزيع وذلك لفواصل معينة. وكمحاولة لتحديد الفواصل المناسبة طبقاً للمعادلات المخمنة يعرض الشكل (3) العلاقة بين معامل التنساق الاحادي ومعامل التنساق طبقاً للمعادلة 9 وذلك لقيم مختلفة للمعاملات SS و SR ، والذى يتبيّن منه ان اعلى قيم يمكن الحصول عليها لمعامل التنساق الاحادي وذلك لقيمة معينة لمعامل التنساق عند قيم المعامل 0.8-0.4 وعند قيم المعامل SS من 0.2-0.0 . كما يعرض الشكل (4) العلاقة بين معامل التناسق المزدوج ومعامل التنساق الاحادي طبقاً للمعادلة 10 وذلك لقيم مختلفة للمعاملات SR و SS ، والذي يتبيّن منه ان اعلى قيم يمكن الحصول عليها لمعامل التنساق المزدوج وذلك لقيمة معينة لمعامل التنساق الاحادي عند قيم المعامل SR من 1.0-0.8 وعند قيم المعامل SS بحدود 0.1 و 0.4 . ويعرض الشكل (5) العلاقة بين تناسق التوزيع الاحادي وتناسق التوزيع طبقاً للمعادلة 11 وذلك لقيم مختلفة للمعاملات SS و SR ، والذي يتبيّن منه ان اعلى قيم يمكن الحصول عليها لتناسق التوزيع الاحادي وذلك لقيمة معينة لتناسق التوزيع عند قيم المعامل SR من 0.6-0.2 وعند قيم المعامل SS من 0.3-0.2 . كذلك يعرض الشكل (6) العلاقة بين تناسق التوزيع المزدوج وتناسق التوزيع الاحادي طبقاً للمعادلة 12 وذلك لقيم مختلفة للمعاملات SS و SR ، والذي يتبيّن منه ان اعلى قيم يمكن الحصول عليها لتناسق التوزيع المزدوج وذلك لقيمة معينة لتناسق التوزيع الاحادي عند قيم المعامل SR من 1.0-0.6 وعند قيم المعامل SS بحدود 0.5-0.4 .

4. الاستنتاجات

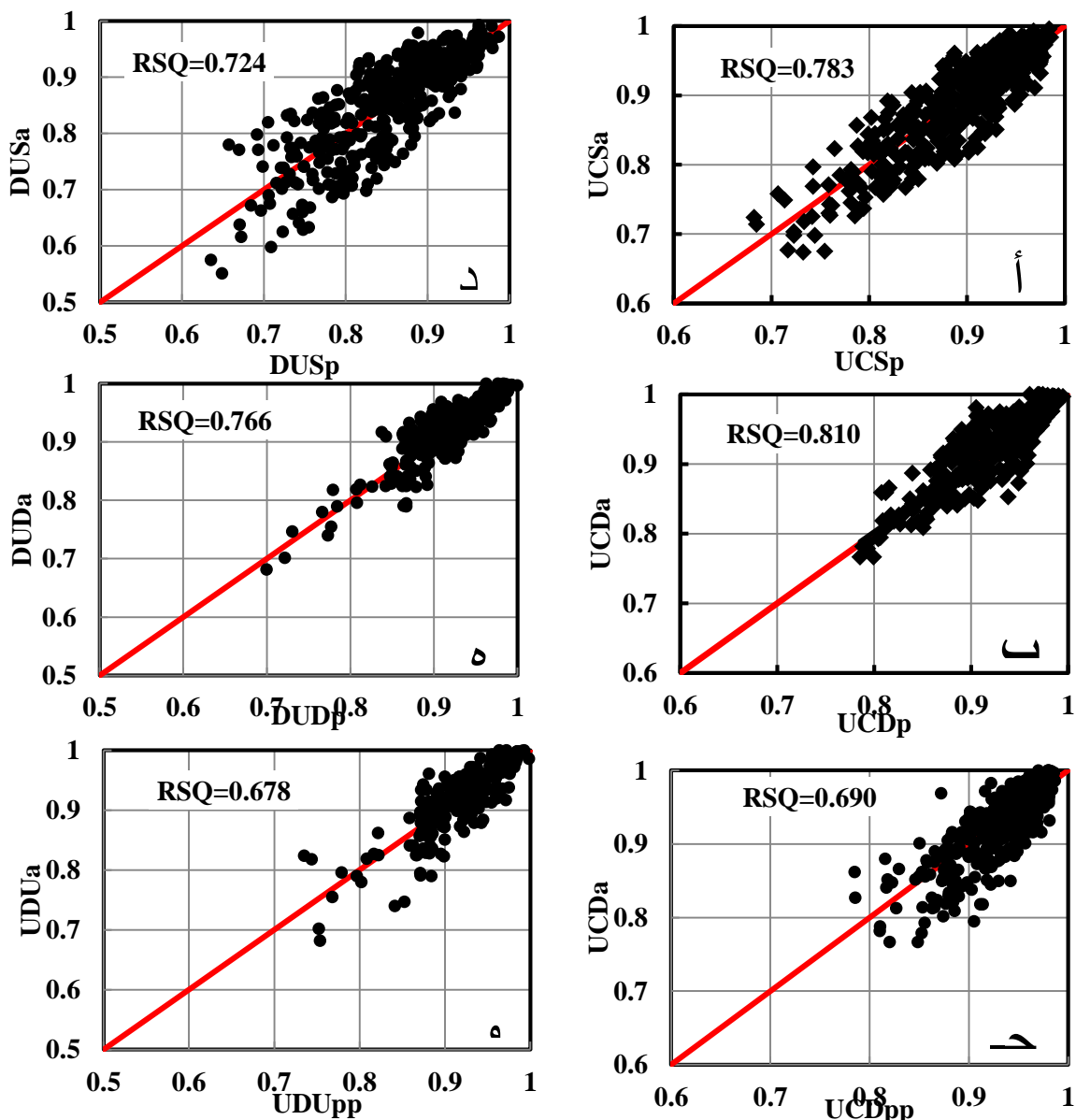
- ضمن مدى ومحددات الدراسة ممكن استنتاج الآتي:
- تم استبيان علاقات تجريبية لتخمين كل من معامل التنساق الاحادي والمزدوج وبمعاملات تحديد 0.783 و 0.810 على

And Drain. Div., ASCE, V.101, nIR4, P251-264. (E,F), 1975.
 [13]. H.I.Yasin, and N. M. Jajjo, "Uniformity Improvement by Alternate Setting Under Stationary Sprinkler System", Engineering and Technology Journal, Special Issue Proceeding of the Second Iraqi Conference on Engineering, Vol.1, 1988.

[10]. A.Y.Hachum, and H.I.Yasin, "Effect of Riser Height and Pressure on Uniformity of Sprinkler Irrigation". Engineering and Technology Journal, Special Issue, 1988.

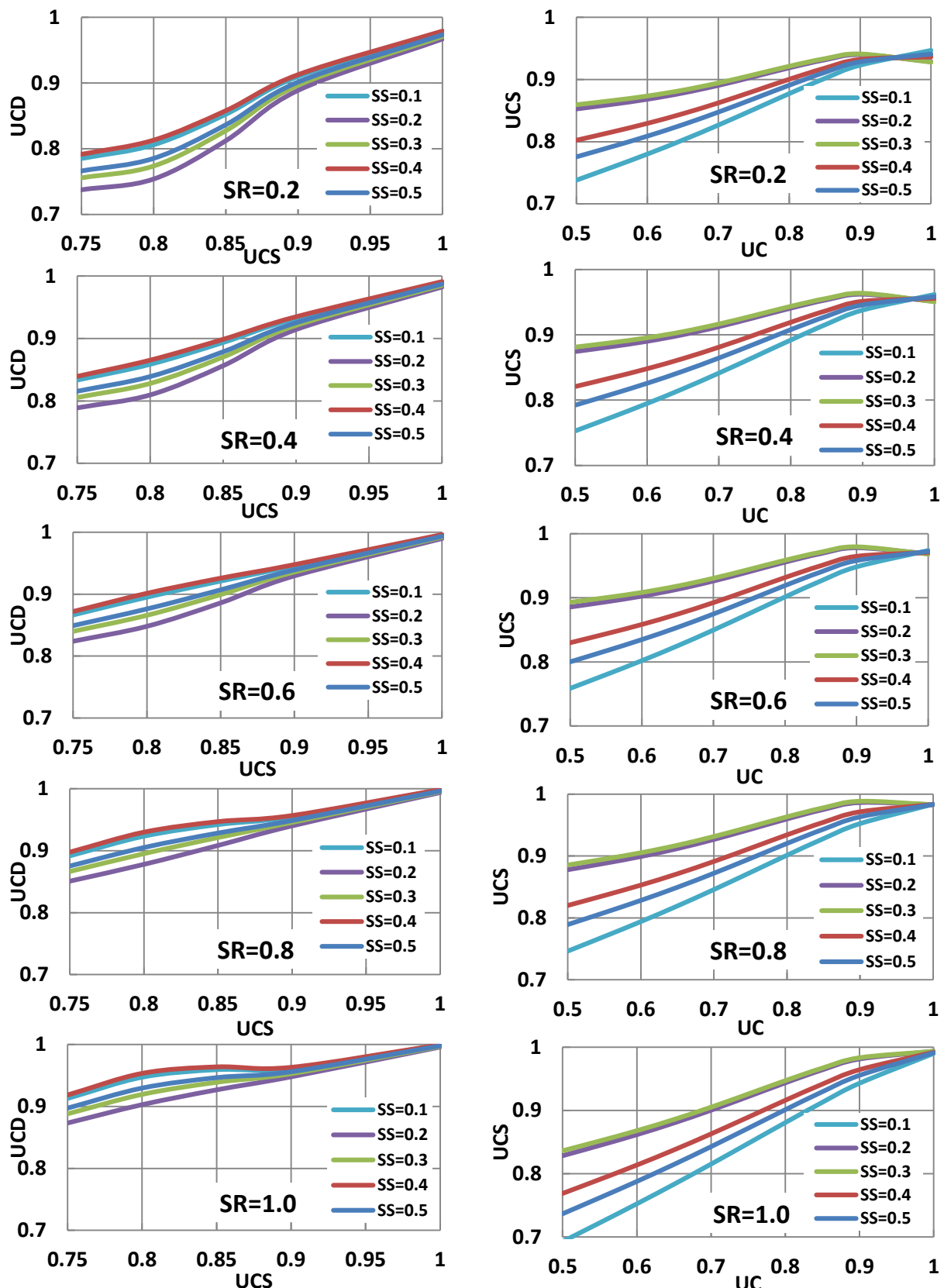
[11]. A AL-Sinjary, Z., & A AL-Talib, A. "Effect of Magnetizing Water on Uniformity of Sprinkle Irrigation". AL-Rafidain Engineering Journal (AREJ), 17(1), 68-79, 2009.

[12]. I.Seginer, and M. Kostrinsky, "Wind, Sprinkler Patterns, and System Design" J. Irrig,



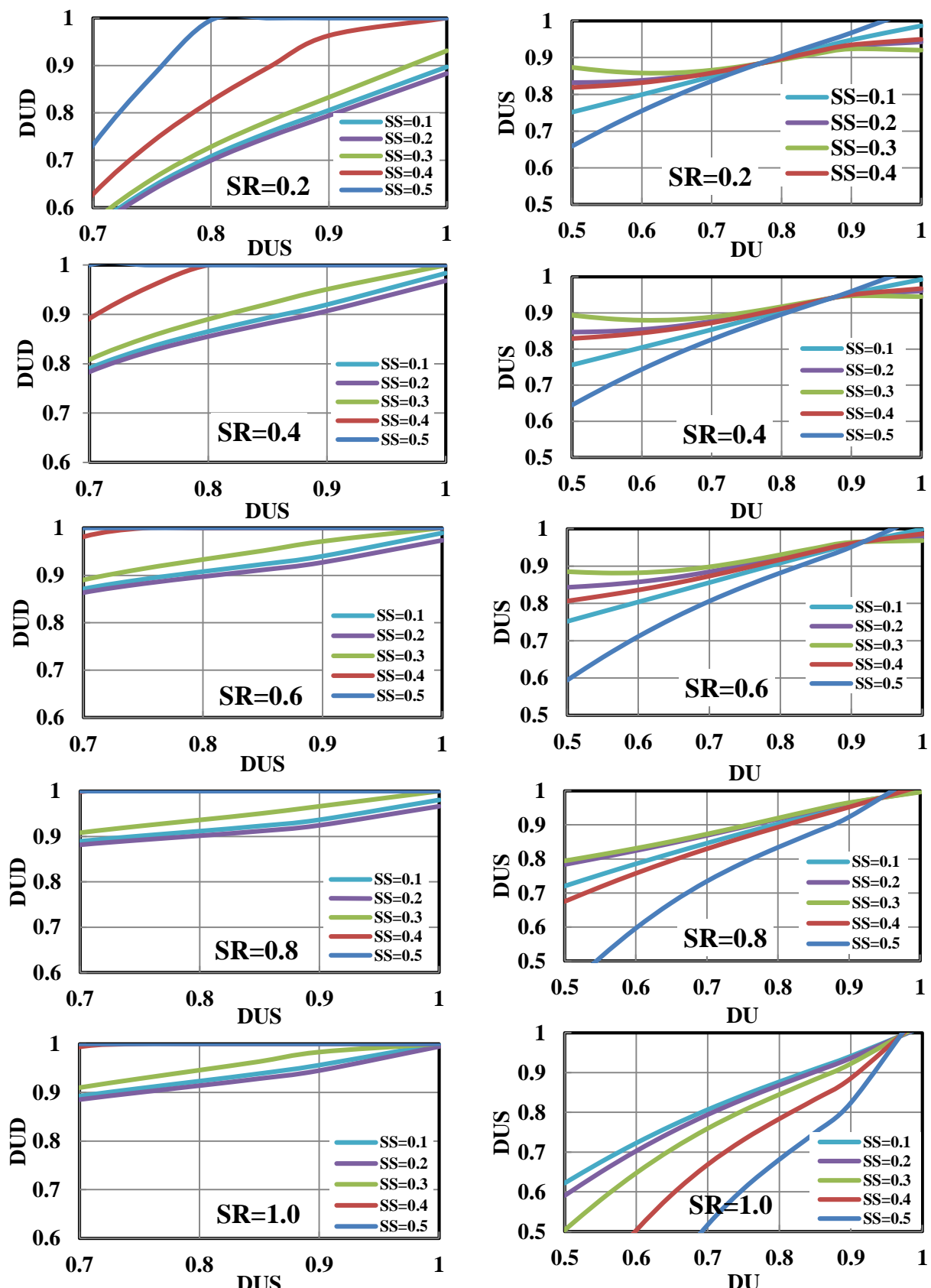
الشكل (2): المقارنة بين القيم المحسوبة من نمط التوزيع الحقلي والمختبرة من المعادلات 12-11 وذلك لكل من تناسب التوزيع الاحادي تناسب التوزيع المزدوج.

الشكل (1): المقارنة بين القيم المحسوبة من نمط التوزيع الحقلي والمختبرة من المعادلات 10-9 وذلك لكل من معامل التناسب الاحادي ومعامل التناسب المزدوج.



الشكل (4): العلاقة بين معامل التنااسب المزدوج ومعامل التنااسب الاحادي طبقاً للمعادلة 10 وذلك لقيم مختلفة للمعاملات SS و SR .

الشكل (3): العلاقة بين معامل التنااسب الاحادي ومعامل التنااسب طبقاً للمعادلة 9 وذلك لقيم مختلفة للمعاملات SS و SR .



الشكل (6): العلاقة بين تناسب التوزيع المزدوج وتناسب التوزيع الاحادي طبقاً للمعادلة 12 وذلك لقيم مختلفة للمعاملات SS و SR .

الشكل (5): العلاقة بين تناسب التوزيع الاحادي وتناسب التوزيع طبقاً للمعادلة 11 وذلك لقيم مختلفة للمعاملات SR و SS .

الجدول (1): نتائج حسابات المعاملات وUC وUCS وUCD من التوزيع الحقلي لمياه الرش

SS	SR	UCD	UCS	UC	SS	SR	UCD	UCS	UC	SS	SR	UCD	UCS	UC
0.33	0.3	0.98	0.93	0.91	0.29	0.3	0.98	0.98	0.78	0.24	0.5	1	0.98	0.96
0.33	0.3	0.96	0.95	0.84	0.29	0.3	0.98	0.97	0.85	0.24	0.5	0.98	0.96	0.93
0.33	0.3	0.83	0.83	0.67	0.29	0.3	0.95	0.95	0.76	0.24	0.5	1	0.99	0.95
0.33	0.3	0.91	0.89	0.64	0.29	0.3	0.99	0.98	0.89	0.24	0.5	1	0.99	0.98
0.33	0.3	0.97	0.95	0.93	0.29	0.3	0.99	0.96	0.79	0.24	0.5	0.97	0.97	0.94
0.33	0.3	0.93	0.91	0.85	0.29	0.3	0.98	0.95	0.87	0.24	0.5	0.97	0.95	0.94
0.33	0.3	0.96	0.95	0.87	0.29	0.3	0.96	0.96	0.77	0.24	0.5	0.96	0.96	0.95
0.33	0.3	0.97	0.96	0.93	0.29	0.3	0.94	0.91	0.65	0.24	0.5	0.97	0.97	0.95
0.33	0.3	0.95	0.94	0.83	0.29	0.3	0.91	0.91	0.72	0.24	0.5	0.98	0.98	0.95
0.33	0.3	0.96	0.95	0.87	0.29	0.3	0.93	0.93	0.72	0.24	0.5	0.97	0.96	0.96
0.33	0.3	0.95	0.93	0.92	0.29	0.3	0.97	0.96	0.72	0.24	0.5	0.99	0.96	0.93
0.33	0.3	0.96	0.94	0.84	0.29	0.3	0.93	0.92	0.67	0.24	0.5	0.98	0.97	0.95
0.33	0.3	0.96	0.96	0.84	0.29	0.3	0.97	0.97	0.8	0.24	0.5	0.98	0.96	0.83
0.33	0.3	0.97	0.96	0.95	0.29	0.3	0.98	0.97	0.76	0.24	0.5	0.99	0.97	0.89
0.33	0.3	0.95	0.94	0.85	0.29	0.3	0.98	0.97	0.77	0.24	0.5	0.98	0.98	0.95
0.33	0.3	0.98	0.95	0.9	0.29	0.3	0.98	0.95	0.83	0.24	0.5	0.93	0.93	0.91
0.33	0.3	0.96	0.95	0.92	0.29	0.3	0.95	0.94	0.69	0.24	0.5	0.98	0.96	0.95
0.33	0.3	0.95	0.95	0.88	0.29	0.3	0.98	0.98	0.85	0.24	0.5	0.99	0.99	0.96
0.33	0.3	0.93	0.93	0.88	0.29	0.3	0.91	0.91	0.78	0.24	0.5	0.98	0.98	0.94
0.33	0.3	0.96	0.94	0.86	0.29	0.3	0.98	0.97	0.76	0.24	0.5	0.97	0.97	0.95
0.33	0.3	0.97	0.97	0.85	0.29	0.3	0.93	0.91	0.69	0.24	0.5	0.99	0.95	0.93
0.33	0.3	0.93	0.92	0.91	0.29	0.3	0.96	0.96	0.81	0.24	0.5	0.99	0.96	0.94
0.33	0.3	0.99	0.97	0.94	0.29	0.3	0.98	0.96	0.8	0.24	0.5	1	0.99	0.96
0.33	0.3	0.96	0.95	0.9	0.29	0.3	0.99	0.98	0.81	0.24	0.5	0.99	0.97	0.96
0.33	0.3	0.96	0.96	0.81	0.29	0.3	0.94	0.94	0.72	0.24	0.5	0.97	0.97	0.94
0.33	0.3	0.96	0.96	0.92	0.29	0.3	0.99	0.98	0.87	0.24	0.5	0.99	0.95	0.95
0.33	0.3	0.95	0.95	0.93	0.29	0.3	0.98	0.95	0.85	0.24	0.5	0.98	0.98	0.95
0.33	0.3	0.96	0.96	0.9	0.29	0.3	0.96	0.96	0.79	0.24	0.5	0.97	0.97	0.95
0.33	0.3	0.98	0.98	0.88	0.29	0.3	0.93	0.92	0.78	0.24	0.5	0.97	0.97	0.93
0.33	0.3	0.95	0.95	0.85	0.29	0.3	0.95	0.94	0.84	0.24	0.5	1	0.97	0.94
0.33	0.3	0.95	0.93	0.92	0.29	0.3	0.88	0.88	0.68	0.24	0.5	1	0.99	0.97
0.37	0.2	0.98	0.98	0.92	0.29	0.3	0.97	0.97	0.83	0.24	0.5	0.97	0.96	0.92
0.37	0.2	0.94	0.92	0.78	0.29	0.3	0.98	0.98	0.86	0.24	0.5	0.99	0.97	0.97
0.37	0.2	0.78	0.78	0.63	0.29	0.3	0.99	0.99	0.91	0.24	0.5	0.96	0.95	0.95
0.37	0.2	0.78	0.77	0.45	0.29	0.3	0.96	0.95	0.79	0.24	0.5	0.98	0.98	0.96
0.37	0.2	0.83	0.82	0.66	0.29	0.3	0.98	0.97	0.84	0.24	0.5	0.98	0.98	0.96
0.37	0.2	0.89	0.88	0.86	0.33	0.3	0.97	0.96	0.84	0.24	0.5	0.98	0.98	0.95
0.37	0.2	0.85	0.85	0.84	0.33	0.3	0.98	0.98	0.95	0.24	0.5	0.99	0.99	0.96
0.37	0.2	0.92	0.91	0.8	0.33	0.3	0.95	0.94	0.89	0.24	0.5	1	0.99	0.98
0.37	0.2	0.82	0.82	0.79	0.33	0.3	0.96	0.94	0.9	0.24	0.5	1	0.97	0.95
0.37	0.2	0.8	0.8	0.69	0.33	0.3	0.95	0.95	0.93	0.24	0.5	1	0.96	0.93
0.37	0.2	0.89	0.87	0.7	0.33	0.3	0.96	0.95	0.83	0.29	0.5	0.99	0.99	0.88
0.37	0.2	0.89	0.89	0.87	0.33	0.3	0.95	0.95	0.94	0.29	0.5	0.94	0.94	0.77
0.37	0.2	0.92	0.92	0.82	0.33	0.3	0.97	0.96	0.91	0.29	0.3	0.95	0.95	0.81
0.37	0.2	0.84	0.84	0.74	0.33	0.3	0.95	0.95	0.85	0.29	0.3	0.94	0.92	0.7
0.37	0.2	0.97	0.97	0.93	0.33	0.3	0.95	0.93	0.88	0.29	0.3	0.96	0.96	0.84
0.04	1	0.94	0.92	0.75	0.04	1	0.93	0.87	0.63	0.04	1	0.88	0.84	0.56
0.2	0.4	0.94	0.92	0.6	0.13	1	0.8	0.68	0.55	0.37	0.2	0.87	0.87	0.8
0.2	0.4	0.9	0.89	0.54	0.13	1	0.89	0.86	0.71	0.37	0.2	0.97	0.97	0.93
0.2	0.4	0.83	0.83	0.48	0.13	1	0.92	0.85	0.78	0.37	0.2	0.85	0.85	0.69
0.2	0.4	0.92	0.92	0.91	0.13	1	0.92	0.87	0.77	0.37	0.2	0.89	0.89	0.83
0.2	0.4	0.94	0.93	0.87	0.13	1	0.98	0.83	0.81	0.37	0.2	0.89	0.88	0.84
0.2	0.4	0.94	0.93	0.78	0.13	1	0.98	0.85	0.84	0.37	0.2	0.96	0.95	0.91
0.2	0.4	0.89	0.89	0.67	0.15	0.7	0.97	0.91	0.9	0.37	0.2	0.95	0.93	0.83
0.2	0.4	0.88	0.88	0.64	0.15	0.7	0.98	0.96	0.91	0.37	0.2	0.83	0.83	0.71
0.2	0.4	0.98	0.95	0.68	0.15	0.7	0.98	0.98	0.87	0.37	0.2	0.81	0.81	0.67
0.2	0.4	0.94	0.92	0.6	0.15	0.7	0.96	0.96	0.81	0.37	0.2	0.95	0.95	0.92
0.2	0.4	0.9	0.89	0.54	0.15	0.7	0.97	0.96	0.79	0.37	0.2	0.86	0.86	0.7
0.22	0.3	0.97	0.9	0.47	0.15	0.7	0.97	0.96	0.96	0.37	0.2	0.93	0.93	0.83
0.22	0.3	0.97	0.96	0.84	0.15	0.7	0.98	0.95	0.92	0.37	0.2	0.97	0.97	0.92
0.22	0.3	0.93	0.92	0.71	0.15	0.7	0.99	0.98	0.89	0.37	0.2	0.91	0.9	0.88
0.22	0.3	0.89	0.89	0.62	0.15	0.7	0.99	0.99	0.82	0.37	0.2	0.92	0.91	0.79
0.22	0.3	0.82	0.82	0.49	0.15	0.7	0.99	0.97	0.8	0.41	0.2	0.89	0.88	0.74
0.22	0.3	0.85	0.93	0.48	0.15	0.7	0.99	0.95	0.93	0.41	0.2	0.85	0.85	0.59
0.23	0.3	0.92	0.92	0.66	0.15	0.7	0.98	0.96	0.91	0.41	0.2	0.89	0.89	0.72
0.23	0.3	0.91	0.9	0.55	0.15	0.7	0.98	0.98	0.87	0.41	0.2	0.79	0.79	0.56
0.23	0.3	0.88	0.87	0.46	0.15	0.7	0.96	0.96	0.81	0.41	0.2	0.88	0.87	0.58

SS	SR	UCD	UCS	UC	SS	SR	UCD	UCS	UC	SS	SR	UCD	UCS	UC
0.08	1	0.95	0.93	0.9	0.15	0.7	0.97	0.96	0.79	0.41	0.2	0.77	0.77	0.6
0.08	1	0.97	0.97	0.91	0.15	0.7	0.97	0.93	0.8	0.41	0.2	0.86	0.85	0.7
0.08	1	0.97	0.96	0.87	0.15	0.7	0.93	0.87	0.77	0.41	0.2	0.81	0.81	0.62
0.08	1	0.96	0.9	0.77	0.15	0.7	0.95	0.91	0.85	0.41	0.2	0.88	0.87	0.7
0.08	1	0.97	0.82	0.71	0.15	0.7	0.88	0.85	0.67	0.41	0.2	0.85	0.84	0.74
0.08	1	0.96	0.96	0.92	0.15	0.7	0.95	0.83	0.74	0.44	0.1	0.83	0.83	0.54
0.08	1	0.98	0.96	0.9	0.15	0.7	0.98	0.85	0.75	0.44	0.1	0.86	0.86	0.54
0.08	1	0.99	0.94	0.88	0.18	0.5	0.92	0.9	0.85	0.13	1	1	0.92	0.9
0.08	1	0.99	0.95	0.81	0.18	0.5	0.96	0.95	0.81	0.13	1	1	0.96	0.95
0.08	1	0.99	0.95	0.91	0.18	0.5	0.96	0.96	0.76	0.13	1	1	0.99	0.96
0.08	1	0.97	0.97	0.91	0.18	0.5	0.92	0.92	0.69	0.13	1	0.99	0.98	0.92
0.08	1	0.97	0.96	0.87	0.18	0.5	0.94	0.89	0.69	0.13	1	1	0.98	0.89
0.08	1	0.96	0.9	0.77	0.18	0.5	0.96	0.95	0.89	0.13	1	1	0.96	0.95
0.08	1	0.97	0.82	0.71	0.18	0.5	0.98	0.94	0.91	0.13	1	0.99	0.95	0.94
0.08	1	0.87	0.8	0.61	0.18	0.5	0.98	0.98	0.88	0.13	1	0.99	0.98	0.98
0.08	1	0.91	0.83	0.7	0.18	0.5	0.98	0.97	0.78	0.13	1	1	1	0.97
0.08	1	0.96	0.82	0.77	0.18	0.5	0.98	0.96	0.76	0.13	1	1	0.97	0.96
0.08	1	0.93	0.74	0.68	0.18	0.5	0.95	0.95	0.89	0.13	1	1	0.95	0.95
0.08	1	0.92	0.78	0.72	0.18	0.5	0.96	0.95	0.81	0.13	1	1	0.96	0.95
0.08	1	0.74	0.72	0.51	0.18	0.5	0.96	0.96	0.76	0.13	1	1	0.99	0.96
0.08	1	0.75	0.7	0.57	0.18	0.5	0.92	0.92	0.69	0.13	1	0.99	0.98	0.92
0.08	1	0.82	0.7	0.57	0.18	0.5	0.94	0.89	0.69	0.13	1	1	0.98	0.89
0.08	1	0.92	0.82	0.64	0.18	0.5	0.97	0.94	0.86	0.13	1	0.9	0.83	0.78
0.08	1	0.94	0.78	0.66	0.18	0.5	0.95	0.89	0.83	0.13	1	0.99	0.96	0.94
0.08	1	0.97	0.94	0.9	0.18	0.5	0.93	0.91	0.84	0.13	1	0.96	0.89	0.89
0.08	1	0.99	0.97	0.89	0.2	0.4	0.97	0.91	0.66	0.13	1	0.99	0.93	0.91
0.05	0.8	0.85	0.82	0.7	0.04	1	0.93	0.87	0.64	0.04	1	0.85	0.85	0.7
0.06	0.75	0.94	0.77	0.66	0.14	0.33	0.79	0.78	0.62	0.06	1	0.96	0.76	0.65
0.06	0.75	0.96	0.94	0.81	0.14	0.33	0.81	0.81	0.61	0.06	1	0.95	0.89	0.85
0.06	0.75	0.93	0.78	0.67	0.14	0.33	0.87	0.87	0.69	0.07	0.8	0.92	0.85	0.85
0.06	0.75	0.9	0.75	0.61	0.14	0.33	0.85	0.85	0.59	0.07	0.8	0.93	0.91	0.84
0.06	0.75	0.95	0.81	0.73	0.14	0.33	0.89	0.88	0.71	0.07	0.8	0.93	0.92	0.76
0.06	0.75	0.92	0.81	0.68	0.06	1	0.97	0.92	0.85	0.07	0.8	0.89	0.82	0.62
0.06	0.75	0.95	0.89	0.81	0.06	1	0.89	0.72	0.55	0.07	0.8	0.95	0.89	0.68
0.06	0.75	0.97	0.94	0.87	0.06	1	0.88	0.75	0.52	0.08	0.67	0.96	0.85	0.75
0.06	0.75	0.92	0.82	0.69	0.06	1	0.91	0.75	0.63	0.08	0.57	0.92	0.84	0.62
0.06	0.75	0.93	0.86	0.74	0.06	1	0.91	0.74	0.6	0.05	1	0.89	0.87	0.79
0.06	0.75	0.96	0.91	0.82	0.06	1	0.97	0.79	0.73	0.05	1	0.93	0.87	0.81
0.06	0.75	0.93	0.79	0.58	0.06	1	0.96	0.86	0.79	0.05	0.83	0.92	0.87	0.76
0.06	0.75	0.96	0.89	0.83	0.06	1	0.94	0.82	0.67	0.05	0.83	0.92	0.85	0.7
0.06	0.75	0.92	0.85	0.68	0.06	1	0.97	0.92	0.88	0.13	0.4	0.93	0.9	0.79
0.03	1	0.92	0.88	0.73	0.06	1	0.93	0.85	0.67	0.13	0.4	0.87	0.85	0.65
0.07	0.6	0.91	0.84	0.71	0.06	1	0.85	0.77	0.6	0.13	0.4	0.89	0.89	0.83
0.07	0.6	0.84	0.77	0.6	0.06	1	0.86	0.67	0.55	0.13	0.4	0.92	0.91	0.81
0.07	0.6	0.95	0.91	0.84	0.06	1	0.86	0.76	0.51	0.13	0.4	0.84	0.83	0.72
0.07	0.6	0.86	0.78	0.67	0.06	1	0.91	0.73	0.6	0.13	0.4	0.97	0.93	0.85
0.07	0.6	0.88	0.8	0.71	0.06	1	0.91	0.73	0.57	0.13	0.4	0.87	0.84	0.76
0.07	0.6	0.94	0.88	0.8	0.06	1	0.97	0.77	0.7	0.13	0.4	0.95	0.93	0.84
0.07	0.6	0.92	0.8	0.65	0.06	1	0.97	0.83	0.75	0.13	0.4	0.88	0.88	0.83
0.07	0.6	0.96	0.91	0.87	0.06	1	0.92	0.77	0.63	0.13	0.4	0.85	0.84	0.64
0.07	0.6	0.93	0.87	0.77	0.06	1	0.96	0.88	0.85	0.13	0.4	0.89	0.88	0.79
0.07	0.6	0.96	0.93	0.86	0.06	1	0.93	0.74	0.6	0.13	0.4	0.9	0.89	0.84
0.07	0.6	0.91	0.79	0.63	0.06	1	0.89	0.77	0.57	0.13	0.4	0.91	0.84	0.75
0.07	0.6	0.81	0.73	0.59	0.06	1	0.94	0.81	0.75	0.13	0.4	0.97	0.95	0.87
0.07	0.6	0.96	0.86	0.8	0.06	1	0.88	0.79	0.63	0.13	0.4	0.93	0.93	0.83
0.08	0.5	0.85	0.82	0.65	0.06	1	0.93	0.82	0.66	0.13	0.4	0.86	0.85	0.66
0.08	0.5	0.88	0.85	0.72	0.06	1	0.96	0.89	0.82	0.13	0.4	0.95	0.94	0.85
0.08	0.5	0.87	0.85	0.66	0.06	1	0.97	0.94	0.9	0.13	0.4	0.83	0.82	0.66
0.04	1	0.89	0.83	0.59	0.06	1	0.94	0.84	0.71	0.13	0.4	0.81	0.8	0.61
0.04	1	0.93	0.87	0.65	0.06	1	0.89	0.7	0.57	0.13	0.4	0.82	0.82	0.62
0.04	1	0.94	0.89	0.66	0.06	1	0.85	0.71	0.47	0.13	0.4	0.88	0.88	0.81
0.04	1	0.95	0.92	0.75	0.06	1	0.92	0.73	0.6	0.13	0.4	0.85	0.85	0.82
0.04	1	0.94	0.91	0.68	0.06	1	0.86	0.68	0.52	0.13	0.4	0.91	0.89	0.76
0.04	1	0.87	0.85	0.72	0.06	1	0.95	0.76	0.69	0.13	0.4	0.82	0.81	0.75
0.04	1	0.93	0.92	0.76	0.06	1	0.95	0.82	0.7	0.13	0.4	0.97	0.93	0.82
0.04	1	0.87	0.86	0.71	0.06	1	0.94	0.79	0.62	0.13	0.4	0.98	0.94	0.9
0.04	1	0.93	0.81	0.74	0.06	1	0.98	0.87	0.82	0.13	0.4	0.92	0.85	0.73
0.04	1	0.88	0.85	0.66	0.06	0.75	0.9	0.74	0.61	0.14	0.33	0.88	0.87	0.73
0.04	1	0.94	0.9	0.65	0.06	0.75	0.95	0.86	0.77	0.14	0.33	0.87	0.8	0.53
0.04	1	0.89	0.85	0.69	0.06	0.75	0.95	0.81	0.73	0.14	0.33	0.77	0.77	0.6
0.04	1	0.95	0.92	0.81	0.06	0.75	0.95	0.91	0.83	0.14	0.33	0.85	0.85	0.68

SS	SR	UCD	UCS	UC	SS	SR	UCD	UCS	UC	SS	SR	UCD	UCS	UC
0.04	1	0.96	0.94	0.72	0.06	0.75	0.93	0.85	0.71	0.14	0.33	0.86	0.86	0.61
0.04	1	0.88	0.85	0.71	0.06	0.75	0.93	0.86	0.68	0.14	0.33	0.91	0.91	0.71
0.05	0.8	0.93	0.91	0.71	0.05	0.8	0.88	0.85	0.73	0.05	0.8	0.89	0.86	0.69
0.12	0.5	0.89	0.88	0.6	0.1	0.75	0.9	0.76	0.64	0.08	1	0.97	0.95	0.84
0.12	0.5	0.96	0.93	0.83	0.1	0.75	0.92	0.83	0.61	0.08	1	0.95	0.94	0.92
0.12	0.5	0.93	0.88	0.86	0.1	0.75	0.93	0.77	0.59	0.08	1	0.96	0.94	0.89
0.12	0.5	0.89	0.78	0.58	0.1	0.67	0.91	0.88	0.74	0.08	1	0.97	0.95	0.94
0.12	0.5	0.95	0.9	0.78	0.1	0.67	0.97	0.88	0.72	0.08	1	0.98	0.98	0.95
0.12	0.5	0.91	0.81	0.73	0.1	0.67	0.91	0.87	0.67	0.08	1	0.96	0.95	0.94
0.12	0.5	0.98	0.89	0.83	0.1	0.67	0.96	0.91	0.79	0.08	1	0.99	0.94	0.94
0.12	0.5	0.94	0.84	0.8	0.1	0.67	0.96	0.94	0.79	0.08	1	0.96	0.93	0.87
0.12	0.5	0.94	0.92	0.81	0.1	0.67	0.98	0.96	0.81	0.08	1	0.95	0.95	0.86
0.12	0.5	0.95	0.89	0.83	0.1	0.67	0.98	0.96	0.87	0.08	1	0.98	0.96	0.94
0.12	0.5	0.95	0.94	0.81	0.1	0.67	0.95	0.93	0.85	0.08	1	0.98	0.93	0.91
0.12	0.5	0.95	0.95	0.92	0.1	0.67	0.95	0.94	0.78	0.08	1	0.98	0.97	0.89
0.12	0.5	0.96	0.94	0.88	0.1	0.67	0.97	0.92	0.81	0.08	1	0.99	0.98	0.95
0.12	0.5	0.95	0.94	0.83	0.1	0.67	0.99	0.97	0.91	0.08	1	0.99	0.97	0.96
0.12	0.5	0.93	0.87	0.83	0.1	0.67	0.94	0.93	0.76	0.08	1	0.97	0.97	0.94
0.12	0.5	0.95	0.92	0.75	0.1	0.67	0.95	0.92	0.78	0.08	1	0.96	0.94	0.88
0.12	0.5	0.96	0.88	0.83	0.1	0.67	0.92	0.87	0.69	0.08	1	0.97	0.94	0.89
0.12	0.5	0.94	0.93	0.79	0.1	0.67	0.96	0.93	0.82	0.08	1	0.97	0.96	0.82
0.12	0.5	0.95	0.94	0.86	0.1	0.67	0.98	0.94	0.78	0.08	1	0.95	0.93	0.91
0.12	0.5	0.93	0.85	0.85	0.1	0.67	0.97	0.96	0.85	0.08	1	0.98	0.95	0.89
0.12	0.5	0.94	0.93	0.82	0.1	0.67	0.95	0.94	0.75	0.08	1	0.97	0.95	0.93
0.12	0.5	0.96	0.94	0.81	0.1	0.67	0.98	0.94	0.88	0.08	1	0.97	0.96	0.93
0.12	0.5	0.97	0.9	0.82	0.1	0.67	0.96	0.92	0.77	0.08	1	0.97	0.96	0.94
0.12	0.5	0.95	0.86	0.82	0.1	0.67	0.98	0.97	0.86	0.08	1	0.99	0.96	0.95
0.12	0.5	0.96	0.94	0.8	0.1	0.67	0.88	0.86	0.66	0.08	1	0.96	0.94	0.87
0.12	0.5	0.96	0.91	0.83	0.1	0.67	0.97	0.95	0.81	0.08	1	0.98	0.95	0.9
0.12	0.5	0.95	0.89	0.86	0.1	0.67	0.94	0.93	0.84	0.08	1	0.93	0.93	0.81
0.12	0.5	0.96	0.95	0.9	0.1	0.67	0.96	0.93	0.78	0.08	1	0.96	0.93	0.92
0.12	0.5	0.98	0.96	0.86	0.1	0.67	0.92	0.9	0.77	0.08	1	0.99	0.96	0.88
0.12	0.5	0.95	0.94	0.85	0.1	0.67	0.93	0.9	0.7	0.08	1	0.98	0.96	0.93
0.12	0.5	0.96	0.89	0.81	0.1	0.67	0.96	0.89	0.69	0.08	1	0.97	0.96	0.94
0.12	0.5	0.94	0.82	0.74	0.1	0.67	0.92	0.86	0.65	0.08	1	0.95	0.95	0.85
0.12	0.5	0.95	0.91	0.78	0.1	0.67	0.97	0.94	0.79	0.08	1	0.96	0.96	0.93
0.12	0.5	0.95	0.89	0.84	0.1	0.67	0.97	0.94	0.75	0.08	1	0.99	0.94	0.94
0.12	0.5	0.95	0.93	0.84	0.1	0.67	0.97	0.96	0.77	0.08	1	0.98	0.97	0.93
0.12	0.5	0.93	0.93	0.87	0.1	0.67	0.95	0.94	0.83	0.08	1	0.96	0.88	0.88
0.12	0.5	0.94	0.94	0.86	0.1	0.67	0.98	0.94	0.85	0.08	1	0.97	0.81	0.78
0.12	0.5	0.97	0.95	0.83	0.1	0.67	0.99	0.95	0.87	0.1	0.75	0.92	0.91	0.83
0.12	0.5	0.92	0.87	0.85	0.1	0.67	0.95	0.88	0.8	0.1	0.75	0.96	0.95	0.8
0.13	0.43	0.92	0.88	0.65	0.1	0.67	0.91	0.79	0.64	0.1	0.75	0.92	0.89	0.65
0.13	0.43	0.9	0.87	0.53	0.11	0.6	0.92	0.92	0.87	0.1	0.75	0.96	0.96	0.85
0.06	1	0.9	0.89	0.82	0.11	0.6	0.93	0.93	0.85	0.1	0.75	0.97	0.95	0.89
0.06	1	0.95	0.89	0.86	0.11	0.6	0.94	0.92	0.76	0.1	0.75	0.98	0.94	0.86
0.06	1	0.94	0.94	0.9	0.11	0.6	0.89	0.89	0.63	0.1	0.75	0.97	0.94	0.76
0.06	1	0.98	0.96	0.85	0.12	0.5	0.96	0.92	0.83	0.1	0.75	0.95	0.93	0.87
0.06	1	0.97	0.83	0.71	0.12	0.5	0.92	0.9	0.7	0.1	0.75	0.96	0.95	0.8
0.05	0.8	0.95	0.93	0.73	0.05	0.8	0.93	0.9	0.77	0.05	0.8	0.93	0.91	0.71

الملاحق ب

الجدول (2): نتائج حسابات المعاملات و DU و DUD و DUS و DUU من التوزيع الحقلي لمياه الرش

DU	DUS	DUD	SR	SS	DU	DUS	DUD	SR	SS	DU	DUS	DUD	SR	SS
0.94	0.98	1	1	0.13	0.91	0.92	0.92	0.25	0.33	0.76	0.9	0.93	0.5	0.12
0.88	0.97	0.99	1	0.13	0.87	0.92	0.95	0.25	0.33	0.75	0.8	0.91	0.5	0.12
0.87	0.97	1	1	0.13	0.82	0.93	0.93	0.25	0.33	0.57	0.69	0.92	0.5	0.12
0.7	0.71	0.86	1	0.13	0.85	0.89	0.89	0.25	0.33	0.39	0.6	0.75	0.5	0.12
0.77	0.78	0.94	1	0.13	0.87	0.91	0.95	0.25	0.33	0.46	0.71	0.86	0.5	0.12
0.91	0.92	0.98	1	0.13	0.79	0.92	0.92	0.25	0.33	0.67	0.85	0.93	0.5	0.12
0.86	0.9	0.98	1	0.13	0.55	0.86	0.86	0.25	0.33	0.58	0.79	0.83	0.5	0.12
0.41	0.44	0.79	1	0.13	0.87	0.93	0.94	0.25	0.33	0.73	0.84	0.96	0.5	0.12
0.75	0.76	0.97	1	0.13	0.77	0.83	0.91	0.25	0.33	0.66	0.78	0.91	0.5	0.12
0.76	0.82	0.97	1	0.13	0.85	0.94	0.95	0.25	0.33	0.71	0.87	0.92	0.5	0.12
0.83	0.87	0.92	0.5	0.18	0.9	0.95	0.96	0.25	0.33	0.74	0.81	0.91	0.5	0.12
0.74	0.94	0.94	0.5	0.18	0.8	0.9	0.9	0.25	0.33	0.72	0.88	0.91	0.5	0.12
0.68	0.94	0.94	0.5	0.18	0.81	0.92	0.92	0.25	0.33	0.88	0.91	0.92	0.5	0.12
0.53	0.88	0.88	0.5	0.18	0.87	0.9	0.9	0.25	0.33	0.79	0.9	0.92	0.5	0.12

DU	DUS	DUD	SR	SS	DU	DUS	DUD	SR	SS	DU	DUS	DUD	SR	SS
0.55	0.87	0.87	0.5	0.18	0.8	0.91	0.95	0.25	0.33	0.68	0.89	0.93	0.5	0.12
0.84	0.96	0.96	0.5	0.18	0.83	0.95	0.95	0.25	0.33	0.76	0.83	0.89	0.5	0.12
0.86	0.94	0.95	0.5	0.18	0.92	0.94	0.95	0.25	0.33	0.62	0.86	0.94	0.5	0.12
0.83	0.97	0.96	0.5	0.18	0.75	0.87	0.9	0.25	0.33	0.74	0.84	0.95	0.5	0.12
0.71	0.96	0.96	0.5	0.18	0.88	0.94	0.97	0.25	0.33	0.71	0.89	0.9	0.5	0.12
0.69	0.95	0.95	0.5	0.18	0.89	0.95	0.96	0.25	0.33	0.79	0.91	0.92	0.5	0.12
0.86	0.9	0.95	0.5	0.18	0.84	0.9	0.9	0.25	0.33	0.8	0.83	0.9	0.5	0.12
0.74	0.94	0.94	0.5	0.18	0.83	0.88	0.88	0.25	0.33	0.75	0.88	0.91	0.5	0.12
0.68	0.94	0.94	0.5	0.18	0.8	0.92	0.94	0.25	0.33	0.66	0.88	0.95	0.5	0.12
0.53	0.88	0.88	0.5	0.18	0.82	0.95	0.95	0.25	0.33	0.76	0.85	0.95	0.5	0.12
0.55	0.87	0.87	0.5	0.18	0.87	0.88	0.88	0.25	0.33	0.7	0.79	0.91	0.5	0.12
0.59	0.77	0.92	0.5	0.18	0.9	0.95	0.99	0.25	0.33	0.69	0.89	0.92	0.5	0.12
0.77	0.91	0.96	0.5	0.18	0.84	0.91	0.96	0.25	0.33	0.73	0.87	0.92	0.5	0.12
0.76	0.82	0.91	0.5	0.18	0.77	0.92	0.92	0.25	0.33	0.75	0.84	0.94	0.5	0.12
0.77	0.86	0.91	0.5	0.18	0.89	0.92	0.92	0.25	0.33	0.87	0.93	0.96	0.5	0.12
0.55	0.78	0.85	0.5	0.18	0.9	0.94	0.95	0.25	0.33	0.75	0.93	0.97	0.5	0.12
0.65	0.75	0.92	0.5	0.18	0.9	0.93	0.93	0.25	0.33	0.78	0.91	0.91	0.5	0.12
0.68	0.76	0.93	0.5	0.18	0.86	0.97	0.97	0.25	0.33	0.71	0.83	0.94	0.5	0.12
0.75	0.95	0.96	0.333	0.22	0.82	0.91	0.94	0.25	0.33	0.59	0.79	0.87	0.5	0.12
0.55	0.88	0.89	0.333	0.22	0.88	0.9	0.92	0.25	0.33	0.65	0.86	0.94	0.5	0.12
0.43	0.84	0.84	0.333	0.22	0.87	0.92	1	1	0.13	0.74	0.83	0.95	0.5	0.12
0.25	0.74	0.74	0.333	0.22	0.94	0.96	1	1	0.13	0.76	0.88	0.9	0.5	0.12
0.85	0.92	0.96	1	0.08	0.94	0.98	1	1	0.13	0.82	0.88	0.88	0.5	0.12
0.84	0.95	0.99	1	0.08	0.88	0.97	0.99	1	0.13	0.79	0.91	0.92	0.5	0.12
0.78	0.92	0.96	1	0.08	0.87	0.97	1	1	0.13	0.69	0.91	0.95	0.5	0.12
0.87	0.89	0.92	1	0.08	0.96	0.96	1	1	0.13	0.81	0.84	0.88	0.5	0.12
0.81	0.92	0.95	1	0.08	0.94	0.95	0.99	1	0.13	0.79	0.93	0.94	0.25	0.33
0.88	0.92	0.96	1	0.08	0.97	0.97	0.99	1	0.13	0.93	0.96	0.96	0.25	0.33
0.91	0.96	0.96	1	0.08	0.96	0.99	1	1	0.13	0.79	0.91	0.92	0.25	0.33
0.9	0.92	0.92	1	0.08	0.95	0.97	1	1	0.13	0.86	0.92	0.95	0.25	0.33
0.89	0.92	0.98	1	0.08	0.9	0.95	1	1	0.13	0.86	0.91	0.91	0.25	0.33
0.83	0.89	0.97	1	0.08	0.94	0.96	1	1	0.13	0.81	0.91	0.91	0.25	0.33
0.41	0.63	0.83	0.75	0.06	0.82	0.92	0.94	1	0.06	0.79	0.93	0.96	1	0.08
0.59	0.74	0.88	0.75	0.06	0.8	0.93	0.97	1	0.06	0.89	0.93	0.98	1	0.08
0.46	0.67	0.87	0.75	0.06	0.6	0.77	0.96	1	0.06	0.87	0.89	0.96	1	0.08
0.67	0.81	0.92	0.75	0.06	0.73	0.86	0.9	1	0.06	0.84	0.96	0.98	1	0.08
0.53	0.79	0.88	0.75	0.06	0.57	0.72	0.94	1	0.06	0.93	0.97	0.97	1	0.08
0.39	0.77	0.83	1	0.04	0.77	0.85	0.91	0.8	0.07	0.93	0.96	0.98	1	0.08
0.52	0.79	0.88	1	0.04	0.65	0.89	0.91	0.8	0.07	0.91	0.96	0.96	1	0.08
0.53	0.79	0.88	1	0.04	0.45	0.74	0.86	0.8	0.07	0.79	0.91	0.95	1	0.08
0.63	0.88	0.91	1	0.04	0.36	0.64	0.83	0.8	0.07	0.83	0.9	0.97	1	0.08
0.51	0.85	0.94	1	0.04	0.47	0.84	0.91	0.8	0.07	0.79	0.93	0.95	1	0.08
0.55	0.87	0.89	1	0.04	0.68	0.77	0.95	0.667	0.08	0.86	0.9	0.94	1	0.08
0.61	0.78	0.83	1	0.04	0.53	0.84	0.88	0.667	0.08	0.83	0.94	0.96	1	0.08
0.63	0.84	0.88	1	0.04	0.51	0.82	0.83	0.333	0.14	0.88	0.93	0.97	1	0.08
0.51	0.88	0.91	1	0.04	0.29	0.74	0.82	0.333	0.14	0.88	0.94	0.94	1	0.08
0.64	0.79	0.84	1	0.04	0.31	0.69	0.7	0.333	0.14	0.91	0.94	0.94	1	0.08
0.56	0.76	0.9	1	0.04	0.43	0.73	0.78	0.333	0.14	0.91	0.94	0.99	1	0.08
0.46	0.77	0.8	1	0.04	0.36	0.77	0.8	0.333	0.14	0.84	0.89	0.91	1	0.08
0.5	0.82	0.89	1	0.04	0.51	0.83	0.86	0.333	0.14	0.85	0.93	0.97	1	0.08
0.51	0.77	0.84	1	0.04	0.31	0.68	0.68	0.333	0.14	0.79	0.85	0.93	1	0.08
0.69	0.89	0.93	1	0.04	0.33	0.74	0.76	0.333	0.14	0.86	0.89	0.95	1	0.08
0.57	0.9	0.93	1	0.04	0.45	0.77	0.82	0.333	0.14	0.84	0.94	0.98	1	0.08
0.57	0.8	0.91	1	0.04	0.28	0.8	0.82	0.333	0.14	0.89	0.95	0.97	1	0.08
0.63	0.77	0.79	1	0.04	0.49	0.78	0.83	0.333	0.14	0.91	0.94	0.97	1	0.08
0.32	0.77	0.84	1	0.04	0.32	0.77	0.84	0.75	0.06	0.83	0.91	0.94	1	0.08
0.47	0.78	0.89	1	0.04	0.45	0.64	0.84	0.75	0.06	0.88	0.94	0.94	1	0.08
0.59	0.86	0.91	1	0.04	0.53	0.69	0.91	0.75	0.06	0.88	0.92	0.99	1	0.08
0.6	0.77	0.83	1	0.04	0.65	0.79	0.92	0.75	0.06	0.9	0.95	0.98	1	0.08
0.47	0.79	0.88	1	0.04	0.54	0.73	0.92	0.75	0.06	0.8	0.81	0.95	1	0.08
0.52	0.85	0.88	1	0.04	0.69	0.87	0.93	0.75	0.06	0.71	0.71	0.93	1	0.08
0.52	0.87	0.9	0.8	0.05	0.56	0.77	0.89	0.75	0.06	0.85	0.84	0.91	0.75	0.1
0.65	0.84	0.9	0.8	0.05	0.47	0.78	0.89	0.75	0.06	0.74	0.91	0.93	0.75	0.1
0.54	0.91	0.93	0.8	0.05	0.55	0.75	0.9	0.75	0.06	0.66	0.93	0.94	0.75	0.1
0.51	0.79	0.83	0.8	0.05	0.52	0.78	0.89	0.75	0.06	0.49	0.83	0.9	0.75	0.1
0.63	0.75	0.91	0.8	0.05	0.43	0.66	0.91	0.75	0.06	0.77	0.95	0.95	0.75	0.1
0.52	0.75	0.79	0.8	0.05	0.66	0.88	0.95	0.75	0.06	0.84	0.92	0.95	0.75	0.1
0.51	0.86	0.89	0.8	0.05	0.52	0.71	0.9	0.75	0.06	0.77	0.9	0.97	0.75	0.1
0.54	0.89	0.92	0.8	0.05	0.47	0.67	0.86	0.75	0.06	0.66	0.9	0.96	0.75	0.1
0.55	0.8	0.86	0.8	0.05	0.56	0.72	0.91	0.75	0.06	0.84	0.87	0.94	0.75	0.1
0.92	0.98	0.5	0.24	0.54	0.69	0.92	0.75	0.06	0.74	0.91	0.93	0.75	0.1	

DU	DUS	DUD	SR	SS	DU	DUS	DUD	SR	SS	DU	DUS	DUD	SR	SS	
DU	DUS	SR	SS	DU	DUS	SR	SS	DU	DUS	SR	SS	DU	DUS	SR	SS
0.89	0.97	0.5	0.24	0.55	0.71	0.89	0.75	0.06	0.66	0.93	0.94	0.75	0.1		
0.93	0.98	0.5	0.24	0.7	0.85	0.92	0.75	0.06	0.49	0.83	0.88	0.75	0.1		
0.96	0.99	0.5	0.24	0.77	0.9	0.96	0.75	0.06	0.53	0.63	0.89	0.75	0.1		
0.91	0.96	0.5	0.24	0.55	0.71	0.89	0.75	0.06	0.52	0.67	0.82	0.75	0.1		
0.92	0.92	0.5	0.24	0.61	0.8	0.9	0.75	0.06	0.46	0.78	0.89	0.75	0.1		
0.91	0.95	0.5	0.24	0.76	0.86	0.94	0.75	0.06	0.44	0.66	0.91	0.75	0.1		
0.91	0.96	0.5	0.24	0.46	0.63	0.87	0.75	0.06	0.7	0.87	0.87	1	0.06		
0.92	0.96	0.5	0.24	0.41	0.71	0.89	0.75	0.06	0.57	0.72	0.94	1	0.06		
0.59	0.76	0.4	0.13	0.65	0.91	0.67	0.1	0.95	0.95	0.67	0.15	0.92	0.92	0.5	0.24
0.81	0.93	0.4	0.13	0.74	0.84	0.67	0.1	0.88	0.94	0.67	0.15	0.91	0.95	0.5	0.24
0.72	0.9	0.4	0.13	0.54	0.86	0.67	0.1	0.84	0.97	0.67	0.15	0.92	0.97	0.5	0.24
0.26	0.55	0.4	0.13	0.76	0.88	0.67	0.1	0.74	0.98	0.67	0.15	0.75	0.95	0.5	0.24
0.42	0.76	0.4	0.13	0.63	0.93	0.67	0.1	0.72	0.96	0.67	0.15	0.86	0.93	0.5	0.24
0.76	0.91	0.4	0.13	0.8	0.94	0.67	0.1	0.87	0.94	0.67	0.15	0.93	0.97	0.5	0.24
0.41	0.71	0.4	0.13	0.67	0.9	0.67	0.1	0.86	0.94	0.67	0.15	0.83	0.93	0.5	0.24
0.31	0.67	0.4	0.13	0.78	0.92	0.67	0.1	0.83	0.97	0.67	0.15	0.94	0.95	0.5	0.24
0.37	0.71	0.4	0.13	0.66	0.89	0.67	0.1	0.69	0.94	0.67	0.15	0.95	0.98	0.5	0.24
0.65	0.81	0.4	0.13	0.77	0.96	0.67	0.1	0.72	0.95	0.67	0.15	0.9	0.97	0.5	0.24
0.67	0.74	0.4	0.13	0.56	0.73	0.67	0.1	0.55	0.71	0.67	0.15	0.92	0.97	0.5	0.24
0.61	0.83	0.4	0.13	0.75	0.92	0.67	0.1	0.69	0.87	0.67	0.15	0.9	0.94	0.5	0.24
0.56	0.7	0.4	0.13	0.71	0.87	0.67	0.1	0.7	0.89	0.67	0.15	0.91	0.94	0.5	0.24
0.75	0.9	0.4	0.13	0.67	0.91	0.67	0.1	0.65	0.8	0.67	0.15	0.95	0.99	0.5	0.24
0.84	0.91	0.4	0.13	0.71	0.85	0.67	0.1	0.75	0.87	0.67	0.15	0.94	0.97	0.5	0.24
0.57	0.73	0.4	0.13	0.55	0.86	0.67	0.1	0.63	0.72	0.67	0.15	0.87	0.95	0.5	0.24
0.29	0.62	0.4	0.13	0.64	0.85	0.67	0.1	0.58	0.76	0.67	0.15	0.94	0.94	0.5	0.24
0.44	0.73	0.5	0.08	0.48	0.82	0.67	0.1	0.66	0.76	0.67	0.15	0.95	0.96	0.5	0.24
0.47	0.78	0.5	0.08	0.72	0.91	0.67	0.1	0.72	0.78	0.67	0.15	0.9	0.97	0.5	0.24
0.51	0.83	0.5	0.08	0.63	0.92	0.67	0.1	0.5	0.88	0.4	0.2	0.88	0.94	0.5	0.24
0.5	0.79	0.5	0.08	0.69	0.93	0.67	0.1	0.41	0.89	0.4	0.2	0.92	0.94	0.5	0.24
0.44	0.76	0.5	0.08	0.76	0.91	0.67	0.1	0.33	0.86	0.4	0.2	0.95	0.99	0.5	0.24
				0.62	0.88	0.67	0.1	0.2	0.74	0.4	0.2	0.88	0.91	0.5	0.24
				0.73	0.9	0.67	0.1	0.87	0.88	0.4	0.2	0.95	0.96	0.5	0.24
				0.82	0.94	0.67	0.1	0.85	0.91	0.4	0.2	0.91	0.96	0.5	0.24
				0.74	0.81	0.67	0.1	0.75	0.91	0.4	0.2	0.92	0.98	0.5	0.24
				0.56	0.71	0.67	0.1	0.53	0.86	0.4	0.2	0.92	0.96	0.5	0.24
				0.32	0.58	0.67	0.1	0.49	0.83	0.4	0.2	0.94	0.98	0.5	0.24
				0.5	0.66	0.67	0.1	0.51	0.91	0.4	0.2	0.93	0.97	0.5	0.24
				0.74	0.91	0.5	0.12	0.41	0.89	0.4	0.2	0.97	0.98	0.5	0.24
				0.54	0.85	0.5	0.12	0.33	0.86	0.4	0.2	0.91	0.96	0.5	0.24
				0.43	0.79	0.5	0.12	0.2	0.74	0.4	0.2	0.9	0.95	0.5	0.24
				0.66	0.85	0.83	0.05	0.41	0.88	0.29	0.23	0.51	0.83	0.167	0.41
				0.49	0.81	0.83	0.05	0.28	0.85	0.29	0.23	0.28	0.82	0.167	0.41
				0.65	0.85	0.4	0.13	0.18	0.83	0.29	0.23	0.5	0.83	0.167	0.41
				0.41	0.77	0.4	0.13	0.61	0.82	0.67	0.1	0.24	0.7	0.167	0.41
				0.71	0.85	0.4	0.13	0.66	0.84	0.67	0.1	0.31	0.82	0.167	0.41
				0.68	0.86	0.4	0.13	0.52	0.84	0.67	0.1	0.31	0.7	0.167	0.41
				0.49	0.75	0.4	0.13	0.74	0.86	0.67	0.1	0.46	0.78	0.167	0.41
				0.81	0.92	0.4	0.13	0.65	0.93	0.67	0.1	0.35	0.76	0.167	0.41
				0.59	0.72	0.4	0.13	0.74	0.94	0.67	0.1	0.48	0.82	0.167	0.41
				0.56	0.73	0.4	0.13	0.64	0.89	0.67	0.1	0.5	0.73	0.167	0.41
				0.79	0.89	0.4	0.13	0.77	0.92	0.67	0.1	0.84	0.91	0.667	0.15
				0.69	0.79	0.4	0.13	0.75	0.89	0.67	0.1	0.86	0.94	0.667	0.15
				0.41	0.77	0.4	0.13	0.68	0.92	0.67	0.1	0.83	0.97	0.667	0.15
				0.63	0.81	0.4	0.13	0.72	0.88	0.67	0.1	0.69	0.94	0.667	0.15
				0.72	0.83	0.4	0.13	0.83	0.94	0.67	0.1	0.72	0.95	0.667	0.15

Empirical Equations for Estimation of Water Distribution Uniformity Coefficient in Case of the Alternate Setting of Sprinkler Laterals

Haqqi I. Yasin

h.alhamo@uomosul.edu.iq

Zeyad Ayoob Sulaiman

z.alsinjari@yahoo.com

Ahmed A. M. Al-Ogaidi

a.alogaidi@uomosul.edu.iq

Dams and Water Resources Engineering Department, Collage of Engineering, University of Mosul

Abstract

Among the operating and management practices that can increase the uniformity of water distribution in the portable sprinkler irrigation systems is the alternate setting of sprinkler laterals. Shifting the laterals by half the distance between laterals results in a single alternate set and shifting the laterals by half the distance between the sprinklers results in double alternate set. Data representing 66 patterns of water distribution for a single sprinkler of different types of sprinkler heads were used. By choosing many suitable sprinklers spacing and using Microsoft Excel to implement the field distribution that free of dry spots, the following coefficients were computed: uniformity coefficient, uniformity coefficient of single and double alternate set, distribution uniformity, distribution uniformity of single and double alternate set and coefficients related to sprinklers spacing. Then, using the nonlinear regression analysis provided in SPSS, empirical relationships were derived to estimate both the single and double uniformity coefficients and the single and double distribution uniformity with determination coefficients of 0.783, 0.810, 0.720, and 0.766, respectively. The spacing coefficients that lead to the maximum values of the different uniformity coefficients were determined based on inferred equations. In addition, the functions proposed in previous studies used in estimating the single and double uniformity coefficients with determination coefficients of 0.608 and 0.539, respectively as well as the single and double distribution uniformity coefficients with determination coefficients of 0.584 and 0.491, respectively showed low accuracy as compared with the ones proposed in the current study.

Keywords

Uniformity coefficient, Sprinkler lateral, Empirical equations